

УДК 533.95:537.525

© 1994 г. Р. Ш. ИСЛАМОВ

АНАЛИТИЧЕСКОЕ ИССЛЕДОВАНИЕ АНОДНОЙ ОБЛАСТИ ТЛЕЮЩЕГО РАЗРЯДА ПОВЫШЕННОГО ДАВЛЕНИЯ

В одномерной постановке в рамках диффузионно-дрейфового приближения аналитически исследована структура анодного слоя тлеющего разряда повышенного давления. Рекомбинация заряженных частиц заметно снижает величину анодного падения потенциала и толщину анодной области. При достаточно высоких значениях плотности тока, характерных для токовых пятен, из-за уменьшения толщины анодного слоя становится существенным вклад диффузионных процессов. Получены аналитические оценки анодного падения потенциала и толщины анодного слоя, удовлетворительно описывающие результаты численных расчетов.

На приэлектродные части тлеющего разряда приходится заметная часть общего энерговклада и объема. Частое наблюдение прорастания шнуров от электродов указывает на важность приэлектродных областей при зарождении неустойчивости. В условиях самостоятельного тлеющего разряда повышенного давления нарушение устойчивости обычно связано с образованием анодных токовых пятен и последующим развитием из них шнуров. Согласно экспериментальным и расчетным данным (см., например, [1]), зависимость анодного падения потенциала от тока оказывается падающей. В аналитических моделях анодной области тлеющего разряда повышенного давления [1—2] пренебрегается рекомбинацией и диффузией заряженных частиц.

1. **Постановка задачи.** Состояние газоразрядной плазмы, состоящей из электронов и положительных ионов, описываем в дрейфовом приближении с сохранением диффузии электронов [3]

$$D_e \frac{dm}{dx} + m\mu_e E + n\mu_i E + (n - m) V = \Gamma \quad (1.1)$$

$$\frac{d}{dx} (n\mu_e E + nV) = m (\kappa - \eta) \quad (1.2)$$

$$\frac{dE}{dx} = 4\pi e (n - m) \quad (1.3)$$

$$n = 0, \quad m\mu_e E = \Gamma (1 - S) (x = 0); \quad n - m = 0 (x = L) \quad (1.4)$$

где m , n — концентрации электронов и положительных ионов соответственно, μ и D — их коэффициенты подвижности и диффузии, E — напряженность электрического поля, κ — частота ионизации за счет соударений электронов с нейтральными частицами, $\eta = n\beta$, β — коэффициент электрон-ионной рекомбинации, V — скорость газа ($V > 0$ при прокачке от анода), Γ — сохраняющийся полный поток заряженных частиц, ось x направлена от анода к катоду. Из-за малости ионной температуры диффузия ионов исключена из уравнений (1.1)—(1.2). В условиях, когда энергия электронов за счет дрейфового

движения сравнительно невелика по сравнению с энергией теплового движения, значение параметра S может быть задано формулой [4, 5]

$$S := 1 - 2 \frac{1 + P}{1 - P} \frac{\mu_e E_a}{V_T}, \quad V_T = \left(\frac{8kT_e}{\pi m_e} \right)^{1/2}$$

где V_T — средняя тепловая скорость электронов и P — вероятность отражения электронов от поверхности анода. При выборе параметра $S = 0$ игнорируются детали сложного механизма взаимодействия электронов с поверхностью анода.

В уравнениях (1.1)—(1.4) перейдем к безразмерным переменным

$$\varepsilon u' = [1 - u - \xi v - \xi (v - u) V_s] \left(\frac{\mu_e z}{\mu_e^a z_a} \right)^{1/2} + \varepsilon \frac{1 + h_e}{2 + h_e} \frac{(v - u) u}{z} \quad (1.5)$$

$$v' = u (v - \lambda) + U \frac{(v - u) v}{z} \quad (1.6)$$

$$z' = v - u \quad (1.7)$$

$$u|_a + S = 1, \quad v|_a = 0, \quad v - u|_p = 0 \quad (1.8)$$

$$0 \leq t = \frac{x}{L} \leq 1, \quad H' \equiv \frac{dH(t)}{dt}, \quad \varepsilon = \frac{D_e}{\mu_e^a E_a L}, \quad \xi = \frac{\mu_i}{\mu_e}, \quad u = \frac{m \mu_e E}{\Gamma}, \quad v = \frac{n \mu_e E}{\Gamma}$$

$$z = (4\pi e \Gamma L)^{-1} \int_0^E \mu_e E dE = \frac{\mu_e E^2}{4\pi e \Gamma L (2 + h_e)}, \quad h_{e,i} = \frac{\partial \ln \mu_{e,i}}{\partial \ln E}, \quad v = \frac{\kappa L}{\mu_e E + V}$$

$$\lambda = \frac{\eta L}{\mu_e E + V}, \quad V_s = \frac{V}{\mu_e E}, \quad U = \frac{1 + h_e}{2 + h_e} \frac{V + V_h}{\mu_e E + V}, \quad V_h = \frac{h_e - h_i}{1 + h_e} \mu_e E$$

где V_h — скорость амбиполярного дрейфа [6]. Индексами a и p помечены соответственно значения величин на аноде ($t = 0$) и положительном столбе ($t = 1$). В типичных условиях тлеющего разряда повышенного давления величина малого параметра ε порядка 10^{-3} . Рассматриваемая задача относится к типу сингулярно возмущенных систем. Наличие малого параметра ε перед старшей производной в уравнении (1.5) позволяет воспользоваться асимптотическим методом для построения приближенного решения задачи.

2. Построение асимптотического решения. Следуя пограничному методу [7], решение задачи будем строить в виде

$$w(t, \varepsilon) = \sum_{i=0}^{\infty} \varepsilon^i [w_i(t) + \Pi_i w(\tau) + P_i w(\tau_i)], \quad \tau = \frac{t}{\varepsilon}, \quad \tau_i = \frac{t - 1}{\varepsilon} \quad (2.1)$$

где $w = \{u, v, z\}$; w_i , $\Pi_i w$ и $P_i w$ — регулярная и погранслоиные части асимптотики. Подставляя (2.1) в (1.5)—(1.8) и пользуясь техникой работы с погранфункциями [7], могут быть найдены все w_i , $\Pi_i w$, $P_i w$. Для главных членов регулярной части асимптотики получим систему уравнений

$$u_0 = 1, \quad v_0 = 1 + z_0' \quad (2.2)$$

$$z_0'' = v_0 - \lambda_0 + (1 + z_0') U \frac{z_0'}{z_0} \quad (2.3)$$

вырожденную по отношению к системе (1.5)—(1.7) (при $\varepsilon = \xi = 0$). Членами порядка ξ ($\approx 10^{-2}$), существенно загромождающими формулы, пренебрегаем. Анализ показывает, что в рассматриваемом случае, когда отношение λ/v ограничено при $v \rightarrow \infty$, учет величины ξ в (2.2)—(2.3) вносит регулярное возмущение на

промежутке $0 \leq t < \infty$ и качественный характер решения при $\xi \rightarrow 0$ не меняется. В противном случае (т. е. при $\lambda/v \rightarrow \infty$ при $v \rightarrow \infty$) решение будет определено (при $\xi \neq 0$) только в некоторой конечной области и ее нельзя продолжить в область $t \rightarrow \infty$ [8].

Регулярная часть асимптотики не удовлетворяет, вообще говоря, краевому условию (1.8). Для устранения этого несоответствия и предназначены пограничные функции $\Pi_0 w$ и $P_0 w$. Для главного члена $\Pi_0 w(\tau) = \ddot{u}\Pi_0 u(\tau)$, $\Pi_0 v(\tau)$, $\Pi_0 z(\tau)$ А погранслоной части асимптотики получим систему уравнений и граничных условий

$$\Pi_0' u(\tau) = -\Pi_0 u(\tau) \left\{ \frac{\mu_e [z_0(0) + \Pi_0 z(\tau)]}{\mu_e^2 z_0(0)} \right\}^{1/2}, \quad \Pi_0' v(\tau) = \Pi_0' z(\tau) = 0$$

$$u_0 + \Pi_0 u|_a + S_0 = 1, \quad v_0 + \Pi_0 v|_a = 0, \quad S_0 = S(z = z_0 + \Pi_0 z|_a)$$

Учитывая стандартное требование $\Pi_0 w(+\infty) = 0$ [7], находим решение

$$\Pi_0 u = -S_0 \exp(-\tau), \quad \Pi_0 v = \Pi_0 z = 0$$

Для погранслоной части асимптотики $P_0 w$ на правом конце сегмента $[0, 1]$ аналогичным образом получаем $P_0 u = P_0 v = P_0 z = 0$. Подставляя значения пограничных функций $\Pi_0 w$ и $P_0 w$ в (1.8), определяем краевые условия для регулярной части асимптотики (2.3)

$$z_0'|_a = -1, \quad z_0'|_p = 0 \quad (2.4)$$

Для членов асимптотики $w_1(t) = \{u_1(t), v_1(t), z_1(t)\}$ имеем систему линейных уравнений

$$u_1 = -f, \quad v_1 = -f + z_1', \quad f = (\mu_e^2 z_0^2)^{1/2} [(\mu_e z_0)^{-1/2}]' \quad (2.5)$$

$$z_1'' + \left(\lambda_v' - U \frac{2v_0 - 1}{z_0} \right) z_1' - \left(v_z' - \lambda_z' - U v_0 \frac{v_0 - 1}{z_0^2} \right) z_1 = F \quad (2.6)$$

$$F = f' + f \left(\lambda_v' - z_0'' + U \frac{z_0'^2}{z_0} \right)$$

Для погранслоной части асимптотики $\Pi_1 w$ получим систему уравнений и граничных условий

$$\Pi_1' u(\tau) = -\Pi_1 u(\tau) - f_a \ddot{u} [1 + \Pi_0 u(\tau)]^2 - 1A$$

$$\Pi_1' v(\tau) = \Pi_0 u(\tau) [v_0(0) - \lambda_0(0)], \quad \Pi_1' z(\tau) = -\Pi_0 u(\tau)$$

$$u_1 + \Pi_1 u|_a + S_1 = 0, \quad v_1 + \Pi_1 v|_a = 0, \quad S_1 = (z_1 + \Pi_1 z) S_z'|_a$$

Учитывая требование $\Pi_1 w(+\infty) = 0$ [7], находим решение

$$\Pi_1 u(\tau) = [(1 - S_0^2) f_a - S_1 + 2f_a S_0 \tau + f_a S_0^2 \exp(-\tau)] \exp(-\tau)$$

$$\Pi_1 v(\tau) = (v_0^a - \lambda_0^a) S_0 \exp(-\tau), \quad \Pi_1 z(\tau) = -S_0 \exp(-\tau)$$

Для погранслоной части асимптотики $P_1 w$ на правом конце сегмента $[0, 1]$ аналогичным образом получаем $P_1 u = P_1 v = P_1 z = 0$. Подставляя значения пограничных функций $\Pi_1 w$ и $P_1 w$ в (1.8), определяем краевые условия для регулярной части асимптотики (2.6)

$$z_1'|_a = f_a - (v_0^a - \lambda_0^a) S_0, \quad z_1'|_p = 0 \quad (2.7)$$

Поскольку однородное уравнение (2.6) (т. е. при $F=0$) имеет решение $Z = z_0'$, то можно выписать ее общее решение [8]

$$z_1 = c_1 Z + c_2 Z \int \frac{dt}{QZ^2} + Z \int \left(\int QZ F dt \right) \frac{dt}{QZ^2}$$

$$Q = \exp \left[\int \left(\lambda_v' - U \frac{2v_0 - 1}{z_0} \right) dt \right]$$

С учетом граничных условий (2.7) получим

$$z_1 = z_0' \left[\frac{\int_0^\infty Q F z_0' dt}{Q_a z_{0a}' z_{0a}''} + \frac{f_a - (v_0^a - \lambda_0^a) S_0}{z_{0a}''} - \int_0^t \left(\int_0^\infty Q F z_0' dt \right) \frac{dt}{Q z_0'^2} \right] \quad (2.8)$$

Остальными членами w_s , $\Pi_s w$ и $P_s w$ для $s=2, 3, \dots$ интересоваться не будем. Оценка остаточного члена (2.1) решения системы уравнений типа (1.5)—(1.8) в общем виде выполнена в [7]. Таким образом, при известном решении уравнения (2.3) с граничными условиями (2.4) может быть определено z_1 из уравнения (2.8) и решение задачи запишется в виде

$$u = 1 - S_0 \exp(-\tau) - \varepsilon \ddot{u} f - [f_a [1 - S_0^2 + 2S_0 \tau + S_0^2 \exp(-\tau)] - S_1] \exp(-\tau) A$$

$$v = 1 + z_0' - \varepsilon [f - z_1' - (v_0^a - \lambda_0^a) S_0 \exp(-\tau)] \quad (2.9)$$

$$z = z_0 + \varepsilon [z_1 - S_0 \exp(-\tau)]$$

При $h_e = -1$ $F=f=0$ и диффузионные эффекты определяются исключительно механизмом замыкания электронного тока на анод.

3. Влияние диффузии электронов на интегральные характеристики анодного слоя в отсутствие переноса возмущений ($V=0, h_e = h_i = 0$). Поскольку обычно рекомбинационная длина $X_\beta = \mu_e E / \beta m$ в условиях тлеющего разряда значительно превосходит характерный размер нарушения квазинейтральности X_p , при вычислении интегралов в (2.8) можно полагать $Q \simeq 1$. Тогда, учитывая, что

$$\int_0^\infty F z_0' dt \simeq f (-z_0'/2 + z_0'^2/3)$$

из (2.8) получим

$$z_1 \simeq z_0' \left(\frac{f_a}{6z_{0a}''} - S_0 + \frac{1}{2} \int_0^t \frac{f dt}{z_0'} - \frac{1}{3} \int_0^t f dt \right) \quad (3.1)$$

Решение (2.9) с учетом (3.1) в размерных переменных имеет вид

$$m = \frac{\Gamma}{\mu_e E_0} \left(1 - S_0 \exp\left(-\frac{x}{X_u}\right) + \right.$$

$$+ \frac{D_e E_0'}{\mu_e E_0^2} \left\{ 1 - \left[1 + 2S_0 \frac{x}{X_u} - S_0^2 + S_0^2 \exp\left(-\frac{x}{X_u}\right) + \right. \right.$$

$$\left. \left. + S_E' \frac{\mu_i}{3\mu_e} \cdot \frac{2\pi e \Gamma}{\kappa_a - \eta_a} \right] \exp\left(-\frac{x}{X_u}\right) \right\} \right) \quad (3.2)$$

$$n = \frac{\Gamma}{\mu_e E_0} \left(1 + \frac{\mu_e E_0 E_0'}{4\pi e \Gamma} - \frac{D_e E_0'}{\mu_e E_0 E_0} \left\{ \frac{1}{6} \cdot \frac{\kappa_0 - \eta_0}{\kappa_a - \eta_a} - \frac{E_e E_0'}{2E_0 E_e'} + \frac{E_0'^2}{3E_a'^2} + \right. \right.$$

$$+ \frac{\chi_0 - \eta_0}{\mu_e E_a'} \left[S_0 + \frac{1}{3} \left(\frac{E_a}{E_0} - 1 \right) - \frac{E_a^2 E_0'}{2} \int_0^x \frac{dx}{E_0^3} - S_0 \exp \left(- \frac{x}{X_u} \right) \right] \quad (3.3)$$

$$E = E_0 + \frac{D_e E_0'}{\mu_e E_a} \left[\frac{E_a^2 E_a'}{2} \int_0^x \frac{dx}{E_0^3} - \frac{1}{6} \cdot \frac{\mu_e E_a'}{\chi_a - \eta_a} - S_0 - \frac{1}{3} \left(\frac{E_a}{E_0} - 1 \right) + S_0 \exp \left(- \frac{x}{X_u} \right) \right] \quad (3.4)$$

$$(E_0 E_0')' = \frac{4\pi e \Gamma (\chi_0 - \eta_0)}{\mu_e \mu_i E_0}, \quad E_0' |_a = - \frac{4\pi e \Gamma}{\mu_e E_0^2}, \quad E_0' |_p = 0 \quad (3.5)$$

где $X_u = D_e / \mu_e E_a$ — длина установления, характеризующая пространственный масштаб возмущения из-за диффузионного стока электронов на анод. Нелинейное дифференциальное уравнение (3.5) имеет первый интеграл

$$G(E_0) = \int_{E_p}^{E_0} (\chi - \eta) dE = \frac{\mu_e \mu_i E_0^2 E_0'^2}{8\pi e \Gamma} \quad (3.6)$$

и, следовательно, интегрируется в квадратурах. Используя (3.4), вычислим напряженность электрического поля на аноде и интегральные характеристики: анодное падение потенциала U_a , размер нарушения квазинейтральности X_p и среднее значение толщины анодного слоя X_E . Для этих целей явный вид функции E_0 , как будет видно из дальнейшего, не потребуется. Согласно (3.4)

$$E|_a = E_a + E_a', \quad E|_p = E_p, \quad E_a = E_0|_a, \quad E_a' = - \frac{D_e \mu_i (4\pi e \Gamma)^2}{6\mu_e^3 E_a^3 (\chi_a - \eta_a)}, \quad \chi(E_p) = \frac{\beta \Gamma}{\mu_e E_p}$$

С учетом граничного условия из соотношения (3.6) следует известное выражение для нахождения поля на аноде [1]

$$\int_{E_p}^{E_a} (\chi - \eta) dE = \frac{\mu_i}{\mu_e} 2\pi e \Gamma \quad (3.7)$$

Для величины анодного падения потенциала U_a , используя (3.4), получим

$$U_a = \int_0^{\infty} (E - E_p) dx = \int_0^{\infty} (E_0 - E_p) dx + \frac{D_e}{\mu_e} \left\{ \frac{2\pi e \Gamma}{\mu_e} \int_0^{\infty} \frac{E_0 - E_p}{E_0^3} dx + \left[S_0 - \frac{\mu_i 2\pi e \Gamma}{3\mu_e E_a (\chi_a - \eta_a)} \right] \left(1 - \frac{E_p}{E_a} \right) \right\} \quad (3.8)$$

Анализ показывает, что при неизменном знаке заряда в анодной области максимальные значения подынтегральных выражений в правой части (3.8) достигаются соответственно в начальной ($x=0$) и внутренней ($x=x_*$) точках на пути интегрирования. Вкладом последнего слагаемого можно пренебречь из-за резкой зависимости χ от E в соотношении (3.7). В соответствии с асимптотическими методами из [9] (стр. 89 и 128) в рассматриваемом случае можем записать

$$U_a = \frac{E_a - E_p}{p_a'} \sum_{s=0}^{\infty} \Gamma(s+1) \alpha_s + \frac{D_e 4\pi e \Gamma (E_* - E_p)}{\mu_e^2 E_*^3 (2q_*'')^2} \sum_{s=0}^{\infty} \Gamma\left(s + \frac{1}{2}\right) \beta_{2s} + \frac{D_e}{\mu_e} S_0 \Delta$$

$$p = -\ln \left(\frac{E}{E_p} - 1 \right), \quad q = -\ln \left(\frac{E}{E_p} - 1 \right) + 3 \ln \left(\frac{E}{E_p} \right),$$

$$q_* = q(E_*), \quad E_* = \frac{3}{2} E_p, \quad \Delta = 1 - \frac{E_p}{E_a}$$

где $\Gamma(s)$ — гамма-функция и, в частности

$$\alpha_0 = 1, \quad \alpha_1 = -\frac{p_a''}{p_a'^2}, \quad \alpha_2 = \frac{3p_a''^2 - p_a' p_a^{(3)}}{2p_a'^4}$$

$$\beta_0 = 1, \quad \beta_2 = 2 \left(\frac{5}{3} q_*^{(3)} q_*^{(3)} - q_*'' q_*^{(4)} \right) (2q_*'')^{-3}, \quad H^{(k)} = \frac{d^k H}{dx^k}$$

Следовательно

$$U_a = \frac{\mu_e E_a (E_a - E_p)^2}{4\pi e \Gamma} (1 + \alpha_1 + 2\alpha_2 + \dots) + \frac{D_e}{\mu_e} \left[S_0 \Delta + W \left(1 + \frac{\beta_2}{2} + \dots \right) \right] \quad (3.9)$$

$$W = \left[\frac{\pi G(E_a)}{108 G(E_*)} \right]^{1/2}$$

Характерный размер нарушения квазинейтральности в анодной области и толщина анодного слоя задаются формулами

$$\begin{aligned} X_p &= \int_0^\infty \rho x dx \left(\int_0^\infty \rho dx \right)^{-1} = \frac{U_a}{E_a + E_a^2 - E_p} \approx \\ &\approx \frac{\mu_e E_a (E_a - E_p)}{4\pi e \Gamma} (1 + \alpha_1 + 2\alpha_2 + \dots) + \frac{D_e}{\mu_e E_a} \left[S_0 + \left(1 + \frac{\beta_2}{2} + \dots \right) \frac{W}{\Delta} \right] \end{aligned} \quad (3.10)$$

$$\begin{aligned} X_E &= \int_0^\infty (E - E_p) x dx \left(\int_0^\infty (E - E_p) dx \right)^{-1} \approx \frac{1}{U_a} \int_0^\infty U_0 dx + \\ &+ \frac{D_e 2\pi e \Gamma}{\mu_e^2 U_a} \left[\int_0^\infty dx \int_x^\infty U_0 \left(\frac{1}{E_0^3} \right)' dx + 2 \int_0^\infty \frac{U_0}{E_0^3} dx \right], \quad U_0 = \int_x^\infty (E_0 - E_p) dx \end{aligned}$$

Оценивая интегралы аналогично предыдущему и ограничиваясь только существенными членами, получим

$$\begin{aligned} X_E &\approx \frac{\mu_e E_a (E_a - E_p)}{4\pi e \Gamma} (1 + 2\alpha_1 + \dots) + \\ &+ \frac{D_e}{\mu_e E_a} \left\{ \frac{[W(2 + \beta_2) - (1 + \alpha_1 + 2\alpha_2) \Delta]^2}{6(1 + \alpha_1 + 2\alpha_2)^2 \Delta^4} + \right. \\ &\left. + \frac{2 \cdot 3^{3/2} W^2 (1 - 1/\Delta)^2}{\pi^{1/2} (1 + \alpha_1 + 2\alpha_2) (\kappa_* E_* / G_* - 4)^{1/2}} - (1 + \alpha_1) \left[S_0 + \left(1 + \frac{\beta_2}{2} \right) \frac{W}{\Delta} \right] \right\} \end{aligned} \quad (3.11)$$

Если в формулах (3.9) и (3.11) пренебречь диффузионными членами и коэффициентами $\alpha_1, \alpha_2, \dots$, учитывающими влияние ионизации, то получим оценки (3.33) из [1]. Приведенные результаты, полученные асимптотическим разложением по степеням малого параметра ϵ , относятся к случаю, когда из-за диффузии электронов появляется тонкий пограничный слой, но профиль параметров плазмы внутри сравнительно более толстого анодного слоя определяется в основном нарушением нейтральности. Из сопоставления X_p^0 и X_u получаем, что это соответствует условию

$$\Gamma \leq \mu_e^2 E_a^3 \Delta / (D_e 4\pi e)$$

Асимптотическое разложение решения задачи (1.1)—(1.3) для случая, когда появление тонкого пограничного слоя обусловлено нарушением нейтральности, что характерно для разрядов низкого давления, построено в [10].

4. Сравнение с расчетными данными. В соответствии с наиболее распространенными аппроксимациями зависимость κ и β от электрического поля E можно представить в виде

$$\kappa = \text{const } E^r \exp(-B/E), \quad \beta = \text{const} \quad (4.1)$$

Тогда, полагая существенной роль рекомбинации только в области квазинейтральности, получим

$$G(E) \approx \kappa_p E_p e^{\sigma} \epsilon^{1+r} \left[\Gamma\left(-1-r, \epsilon \frac{E_p}{E}\right) - \Gamma(-1-r, \epsilon) \right] \quad (4.2)$$

$$\epsilon = B/E_p, \quad \Gamma(\alpha, z) = \int_z^{\infty} t^{-\alpha-1} dt$$

где $\Gamma(\alpha, z)$ — дополнительная неполная гамма-функция. Для рассматриваемого случая больших значений $z+1-\alpha$ воспользуемся разложением [11]

$$\Gamma(\alpha, z) = \frac{e^{-z} z^{\alpha}}{z+1-\alpha} \sum_{k=0}^{\infty} \frac{g_k(z)}{(z+1-\alpha)^{2k}}$$

$$g_{k+1}(z) = (1-\alpha-2kz)g_k(z) + z(z+1-\alpha)g_k'(z), \quad g_0 = 1$$

Ограничиваясь в (4.2) главным членом асимптотического разложения, с хорошей точностью имеем

$$G(E) \approx \frac{\kappa E}{2+r+B/E} - \frac{\kappa_p E_p}{2+r+B/E_p}$$

Тогда уравнение (3.7), позволяющее определить значение E_a , запишется в виде

$$\kappa_a \approx \left(2+r+\frac{B}{E_a}\right) \left(\frac{\mu_i}{\mu_e} \cdot \frac{2\pi e \Gamma}{E_a} + \frac{\kappa_p E_p}{E_a} \cdot \frac{1}{2+r+B/E_p}\right)$$

Следовательно, поправка к полю на аноде за счет диффузии сравнительно невелика

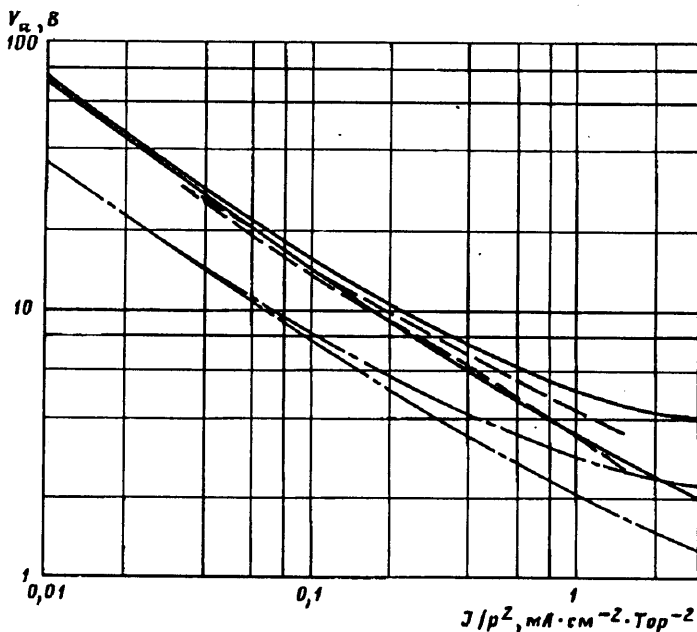
$$E_a^d = - \frac{D_e 4\pi e \Gamma}{3\mu_e^2 E_a^2 (2+r+B/E_a)}$$

и при условии (4.1) коэффициенты асимптотического разложения и параметр W в (3.9)—(3.11) будут задаваться формулами

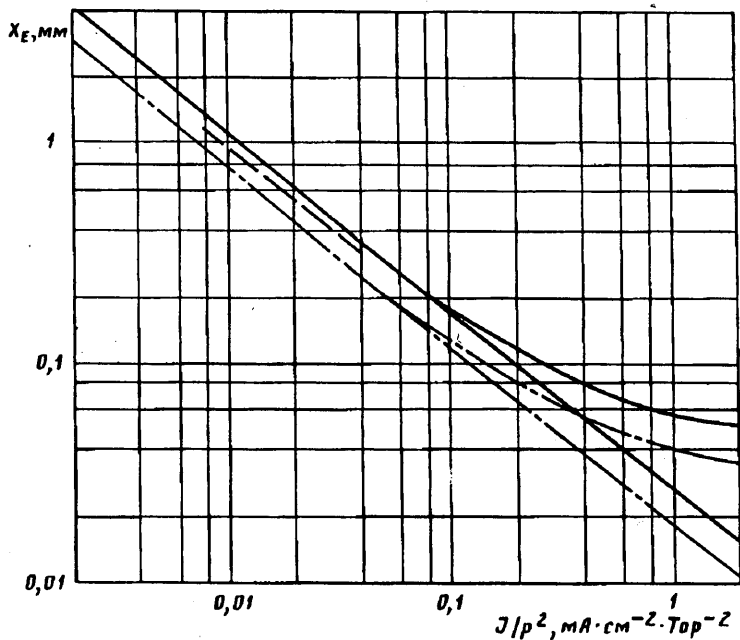
$$\alpha_1 \approx \frac{\Delta}{2} \left(\frac{B}{E_a} + r\right) - 1, \quad \alpha_2 \approx \frac{1}{2} [a_1^2 + (1+\alpha_1)(2\Delta-1) + \Delta^2] \quad (4.3)$$

$$\beta_2 \approx \frac{1}{48} \left[\left(\frac{B}{E_a} + r - 7\right)^2 - 21 \right], \quad W \approx \left[\frac{\pi \kappa_a E_a (2+r+B/E_a)}{108 \kappa_* E_* (2+r+B/E_a)} \right]^{1/2}$$

Сравним полученные приближенные формулы с расчетами. Необходимые значения параметров взяты из [12]. На фиг. 1 приводятся зависимости величины анодного падения потенциала U_a от плотности тока J ($J \equiv e\Gamma$) для азота при давлении $p=25$ тор, вычисленные по формуле (3.9) с коэффициентами (4.3) (сплошная кривая) и полученные в численных расчетах [12] (штриховая кривая). На фиг. 2 сравниваются зависимости толщины анодного слоя X_E от плотности тока при давлении $p=50$ тор, вычисленные по формуле (3.11) (сплошная кривая) и полученные в численных расчетах [2] (штриховая кривая). При увеличении коэффициента рекомбинации β из-за роста напряженности поля E_p анодное падение потенциала U_a и толщина анодного слоя X_E уменьшаются (штрихпунктирные кривые — β увеличено с $0,75 \cdot 10^{-7}$ до $6 \cdot 10^{-6}$ см³/с). Верхние кривые соответствуют значению $D_e/\mu_e = 1$ эВ, нижние кривые — экстраполяция данных для $D_e/\mu_e \rightarrow 0$. Видно, что влияние диффузии растет с увеличением плотности тока и становится



Фиг. 1



Фиг. 2

существенным при достаточно высоких значениях тока, характерных для токовых пятен. Отметим возникновение пограничного пристеночного слоя в концентрации электронов (3.2) из-за диффузии.

Таким образом, рассмотренный метод асимптотического решения уравнений диффузионно-дрейфовой модели анодной области тлеющего разряда повышенного давления оказывается достаточно продуктивным для наглядного анализа как физической картины, так и для простых и быстрых оценок характеристик анодного слоя в широком диапазоне условий.

СПИСОК ЛИТЕРАТУРЫ

1. Голубев В. С., Пашкин С. В. Тлеющий разряд повышенного давления. М.: Наука, 1990. 334 с.
2. Акишев Ю. С., Высикайло Ф. И., Напатович А. П., Пономаренко В. В. Исследование квазистационарного разряда в азоте//Теплофиз. высоких температур. 1980. Т. 18. Вып. 2. С. 266—272.
3. Грановский В. Л. Электрический ток в газе. Т. 1. Общие вопросы электродинамики газов. М.; Л.: Гостехиздат, 1952. 432 с.
4. Исламов Р. Ш. О разрешимости диффузионно-дрейфового приближения в теории газового разряда: Препринт № 81. Троицк: Науч.-исслед. центр по технол. лазерам РАН, 1991. 32 с.
5. Исламов Р. Ш. Моделирование формирования анодного пятна в самостоятельном тлеющем разряде//Журн. техн. физики. 1991. Т. 61. № 7. С. 12—15.
6. Высикайло Ф. И., Цендин Л. Д. Резко неоднородные профили концентрации плазмы в разряде при повышенных давлениях//Физика плазмы. 1986. Т. 12. № 10. С. 1206—1210.
7. Васильева А. Б., Бутузов В. Ф. Асимптотические методы в теории сингулярных возмущений. М.: Высш. шк., 1990. 207 с.
8. Камке Э. Справочник по обыкновенным дифференциальным уравнениям. М.: Наука, 1976. 576 с.
9. Олвер Ф. Асимптотика и специальные функции. М.: Наука, 1990. 528 с.
10. Воронов А. Я. О структуре приэлектродных пограничных слоев газоразрядной плазмы//Изв. РАН. МЖГ. 1992. № 4. С. 43—51.
11. Люк Ю. Специальные математические функции и их аппроксимации. М.: Мир, 1980. 608 с.
12. Исламов Р. Ш. Расчетные характеристики анодной области продольного разряда с учетом диффузии//ПМТФ. 1990. № 5. С. 3—5.

Москва

Поступила в редакцию
3.И.1993